

Control System Design For Continuous Stirred Tank Reactor Using Matlab Simulink

إعداد:

أحمد بابكر أحمد 092203

خالد عثمان محمد الأمين 132523

هاشم أحمد إدريس 132526

بحث تكميلي لنيل درجة البكالريوس مرتبة الشرف

في الهندسة الكهربائية والإلكترونية/ قدرة

قسم الهندسة الكهربائية والإلكترونية

كلية الهندسة والتكنولوجيا

جامعة وادي النيل

يوليو - 2016

الآلية

قال تعالى :

﴿أَوَلَمْ يَسِيرُوا فِي الْأَرْضِ فَيَنْظُرُوا كَيْفَ كَانَ عَاقِبَةُ الَّذِينَ كَانُوا مِنْ قَبْلِهِمْ ۝ كَانُوا هُمْ أَشَدَّ مِنْهُمْ قُوَّةً وَآثَارًا فِي الْأَرْضِ فَأَخْذَهُمُ اللَّهُ بِذُنُوبِهِمْ وَمَا كَانُ لَهُمْ مِنَ اللَّهِ مِنْ وَاقٍ ﴾

سورة غافر الآية - 20

إهداء

إلى كل الذين افنوا زهرة شبابهم وربيع أيامهم وصارعوا الحياة رغم قسوتها

إلى الذين بذلوا قصارى جهدهم من أجنا

لكل الذين أعطوا وما بخلوا

الذين افنوا و ضحوا بحياتهم من أجنا حتى هذه المرحلة

أمهاتنا آباونا

إلى من سنظل وإياهم كالبنيان المرصوص يشدو بعضه بعضًا بصدق ووفاء ومحبه

أهلنا ... إخوتنا ... أصدقاءنا ... أحبابنا ... زملائنا

واللي كل أساندتنا علي طول مسيرة تعليمنا هذه وعلي رأسهم :

الأستاذ أبويكر رحمة الله

إلى كل باحث في دروب العلم والنور والمعرفة

نديكم جميعا هذا العمل المتواضع

شكر وعرفان

الشكر أولاً والحمد لله رب العالمين الذي وفقنا لبلوغ هذا المرام والصلة والسلام على

سيدنا محمد وعلى الله وسلم.

ثم من بعد ذلك الشكر لكل من ساهم معنا في إنجاز هذا العمل المتواضع وعلى رأسهم ذلك القامة الشامخة الذي اشرف على هذا البحث ونهلنا منه كل ما هو مفيد ،

منا لك جزيل الشكر والعرفان استاذنا:

الأستاذ أبوبكر رحمة الله

وأيضا كل الشكر للذين يترقبون هذه اللحظة بعيون متوقبة

آباءنا

والى من صنعن من أنفسهن ثوبا ليقن به من قهر الحياة وقساوة الزمن من تحت

أقدامهن دخلوا جنات الخلد

أمهاتنا

المصطلحات :

Symbol	Meaning
mf	Input mass kg
tf	Feed temperature k
T	Out temperature k
m	Output mass kg
A	Inlet concentration of acetic an hydride
Hc	Outlet temperature of coolant (kj/kg)
Hs	Inlet temperature of coolant (kj/kg)
Ms	Mass of fluid
B	Water
R	Out put
Cp	Specific heat (kj/kg.k)
Kp	Proportional gain
Ki	Integral gain
Kd	Derivative gain
Kc	Critical gain
Gc(s)	Transfer function of controller
Gd(s)s	Transfer function of disturbance (load)
G	Gain coefficient

T_s	Setting time
t_p	Peak time
T_d	Delay time
ω_n	Angular frequency
ω_u	Ultimate frequency
V	Valve
C	Controller
P	Process
M	Measuring element
S	Laplace variable

المستخلص :

المفاعلات الكيميائية تستخدم بصورة واسعة في المجالات الصناعية والمؤسسات التعليمية لكن هناك بعض المشاكل تواجه مستخدم المفاعل.

هذه المشاكل تكمن في درجة الحرارة المولدة من تحريك المواد داخل المفاعل أو من الأجزاء المحيطة به.

لتغلب على هذه المشاكل سنقوم بتصميم أنظمة تحكم للتحكم في درجة حرارة هذا المفاعل، تم التحكم في درجات الحرارة بإضافة نظام تبريد يحيط بالمفاعل ويعمل على مقارنة درجة الحرارة بالقيمة المضبوطة (set point) وعلى ضوئها يعمل على زيادة التبريد وذلك بهدف المحافظة على درجة حرارة ثابتة للمفاعل.

تم استخدام نظامي تحكم التغذية العكسية والتغذية الأمامية ومقارنتها لاختيار نظام التحكم الأفضل بينهما ورسم استجابة الأنظمة وتحليل استقراريتها بواسطة المحاكاة ببرنامج الماتلاب.

الفهرس

I	الآلية
II	الأهداء
III	الشکر والعرفان
V	المصطلحات
VI	المستخلص
IV	فهرس
X	فهرس الأشكال
XI	فهرس الجداول
1	1.1 مقدمة للمفاعلات الكيميائية
1	2.1 نظام التحكم التغذية العكسية
1	3.1 نظام التحكم التغذية الأمامية
2	4.1 متحكمة الـ PID
3	5.1 الأهداف

4	1.2 اشتقاق النموذج الرياضي لـ (CSTR)
6	2.2 الحساسات الحرارية
7	3.2 عناصر التحكم النهائية
8	1.3 تصميم نظام تحكم التغذية العكسية
10	1.1.3 ضبط المتحكمات
12	2.1.3 المتحكم التناصبي (P controller)
13	3.1.3 المتحكم التناصبي التكاملي (PI controller)
14	4.1.3 المتحكم التناصبي التكاملي التقاضي (PID controller)
15	2.3 تصميم نظام تحكم التغذية الأمامية
19	4.1 تحليل استقرارية نظام تحكم التغذية العكسية
20	1.1.4 مخطط بود
21	2.1.4 معيار نيكوست
22	3.1.4 مكان جذور المعدلة
22	2.4 تحليل استقرارية نظام تحكم التغذية الأمامية

23	1.5 الخاتمة
23	2.5 التوصيات
24	المراجع

فهرس الأشكال

2	PID 1.1 متحكمة
3	PID 2.1
4	1.2 مفاعل التبريد المستمر
6	2.2 المزدوج الحراري
8	1.3 متحكمة التغذية العكسية لفاعل التبريد المستمر
9	2.3 المخطط الصندوقي لنظام التغذية العكسية
12	3.3 المخطط الصندوقي لنظام التغذية العكسية باستخدام المتحكم التناصبي
12	4.3 الاستجابة لنظام التغذية العكسية باستخدام المتحكم التناصبي
13	5.3 المخطط الصندوقي للمتحكم التناصبي التكاملي
13	6.3 استجابة الخرج للمتحكم التناصبي التكاملي
14	7.3 المخطط الصندوقي للمتحكم التناصبي التكاملي التفاضلي
14	8.3 استجابة الخرج للمتحكم التناصبي التكاملي التفاضلي

15	9.3 متحكم التغذية الأمامية لمفاعل التبريد المستمر
16	10.3 المخطط الصندوقي لنظام تحكم التغذية الأمامية
17	11.3 المخطط الصندوقي المعدل لنظام تحكم التغذية الأمامية
21	1.4 مخطط بود لنظام تحكم التغذية العكسية
22	2.4 معيار نيكوست لنظام تحكم التغذية العكسية
23	3.4 مكان جذور المعادلة لنظام تحكم التغذية العكسية

فهرس الجداول

10	1.3 طريقة زيلر نيكوس
11	02.3 معايير راوث
12	3.3 جدول زيلر نيكوس بعد التعويض القيمي
19	4.3 المقارنة بين نظام تحكم التغذية العكسية والتغذية الأمامية

الفصل الأول

مقدمة

الفصل الأول

المقدمة

1.1 مقدمة للمفاعلات الكيميائية:

المفاعلات الكيميائية هي أوعية تصمم لاحتواء التفاعل الكيميائي. تصميم المفاعل الكيميائي يتعامل مع خواص متعددة للهندسة الكيميائية. التفاعلات الكيميائية إما أن تكون طاردة للحرارة أو ماصة للحرارة لذا يتطلب ذلك إما إزالة للحرارة أو إضافة للطاقة للمفاعل الكيميائي للحصول على درجة حرارة ثابتة.

2.1 نظام تحكم التغذية العكسية :

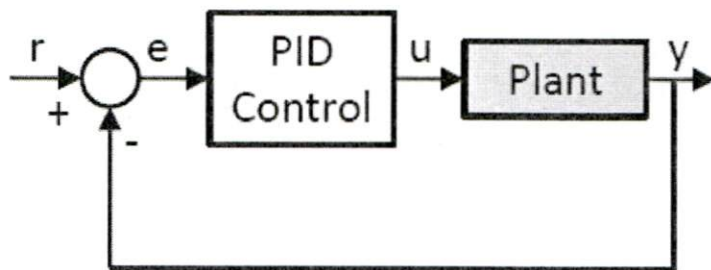
هذا النظام يقوم بقياس قيمة الخرج باستخدام أجهزة القياس، هذه الأجهزة تقوم بإرسال إشارة إلى المتحكم التي تقوم بمقارنة الإشارة مع القيمة المضبوطة للمتحكم (set point) ومن ثم تصحيح انحراف الإشارة.

3.1 نظام تحكم التغذية الأمامية :

إستراتيجية هذا النظام تقوم على تعويض الاضطرابات في النظام قبل أن تؤثر على المتحكم فيه، حيث يقوم على قياس الاضطرابات ومن ثم يتوقع تأثيرها على العملية ويقوم بالتصحيح المطلوب.

4.1 متحكمة الـ PID

تعتمد الكثير من التطبيقات الصناعية للنظم الكهربائية على التحكم الرقمي بالحلقة المغلقة وتعتبر نظم التحكم التكامل التفاضلي هي الأكثر استخداماً في غالب النظم .



شكل 1.1 متحكمة PID

$$e = r - y \quad 1.1$$

$$u = K_p e + k_i \int_0^t e + k_d \dot{e} \quad 1.2$$

$$U(s) = k_p E(s) + \frac{k_i}{s} E(s) + k_d s E(s) \quad 1.3$$

$$U(s) = \left(K_p + \frac{k_i}{s} + K_d s \right) E(s) \quad 1.4$$

$$G_C(s) = \frac{U(s)}{E(s)}|_{IC=0} = K_p + K_i \frac{1}{s} + K_d s = \frac{K_d s^2 + K_p s + K_i}{s} \quad 1.5$$

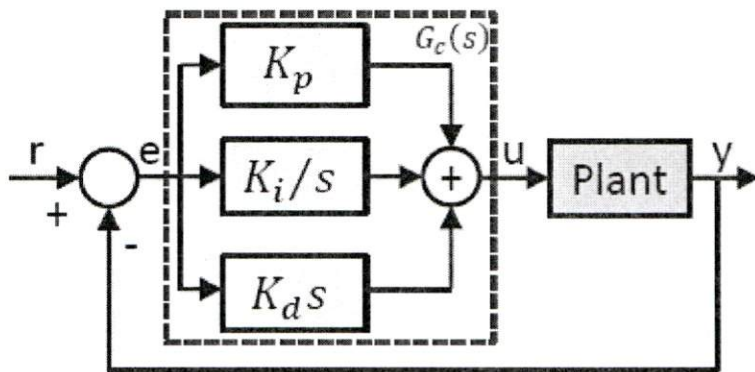
ضع

$$T_i = \frac{k_p}{k_i} \quad \text{and} \quad T_d = \frac{k_d}{k_p} \quad 1.6$$

$$\Rightarrow u = k_p(e + \frac{1}{T_i} \int_0^t e + T_d \dot{e}) \quad 1.7$$

$$U(s) = K_p \left(1 + \frac{1}{T_i s} + T_d s \right) E(s) \quad 1.8$$

$$G_C(s) = \frac{U(s)}{E(s)}|_{IC=0} = K_p + \left(1 + \frac{1}{T_i s} + T_d s \right) = K_p \left(\frac{T_d s^2 + s + \frac{1}{T_i}}{s} \right) \quad 1.9$$



شكل 1.2 متحكم PID

5.1 الأهداف :

هناك عدة أهداف نحتاج إلى تحقيقها في هذا البحث وهي :

- تصميم أنظمة تحكم لمفاعل خزان التبريد المستمر (CSTR).
- ضبط هذه الأنظمة.
- تحليل استجابة واستقرارية الأنظمة.
- تصميم مخطط صندوقى مناسب للنظام.
- اختيار نظام التحكم المناسب.

الفصل الثاني

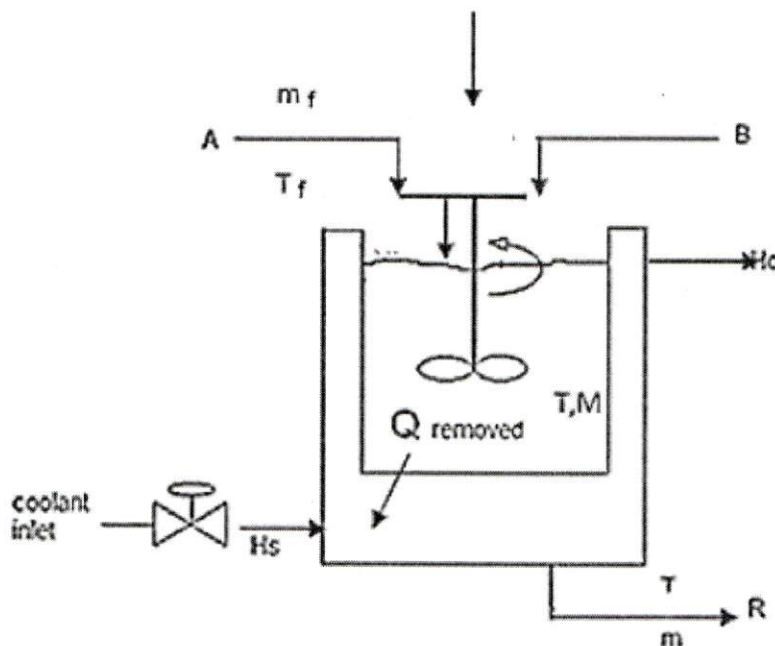
النموذج الرياضي

الفصل الثاني

النموذج الرياضي

للتحقق من سلوك العملية الكيميائية مع الزمن وذلك تحت تأثير الاضطرابات الخارجية والتلاءب بالمتغيرات ومن ثم تصميم وحدة تحكم مناسبة نحتاج الى استخدام النموذج الرياضي.

1.2 اشتقاق النموذج الرياضي ل (CSTR)



شكل 1.2 مفاعل التبريد المستمر



Input energy – output energy + heat provided by steam = rate of change of energy

$$m_f T_F C_p - m C_p T + M_s (H_s - H_c) = M C_p \frac{dT}{dt} \quad 2.1$$

$$MC_p \frac{dT}{dt} + mC_p T = m_f T_f C_p + M_s (H_s - H_c) \quad 2.2$$

بقسمة المعادلة 2.2 على ($m_f C_p$)

$$\frac{M}{m_f} \frac{dT}{dt} + \frac{m}{m_f} T = T_f + \frac{M_s}{m_f C_p} (H_s - H_c) \quad 2.3$$

$$m = m_f \quad 2.4$$

$$\frac{M}{m_f} = \tau_p \quad 2.5$$

$$\tau_p \frac{dT}{dt} + T = T_f + \frac{M_s}{m_f C_p} (H_s - H_c) \quad 2.6$$

ضع

$$\frac{1}{m_f C_p} (H_s - H_c) = K_p \quad 2.7$$

$$\tau_p \frac{dT}{dt} + T = T_f + K_p M_s \quad 2.8$$

وبأخذ تحويل لا بلاس للمعادلة أعلاه نحصل على :

$$(\tau_p S + I)T(s) = T_f(s) + K_p M_s(s) \quad 2.9$$

$$T(s) = \frac{K_p}{(\tau_p S + 1)} M_s(s) + \frac{1}{(\tau_p S + 1)} T_f(s) \quad 2.10$$

في هذه العملية نفترض أن :

$$K_p = 0.503 , \quad \tau_p = 12.4$$

وأيضا للحمل المتغير :

$$K_d = 1 , \quad \tau_d = 12.4$$

نتيجة لذلك تصبح دالة تحويل العملية كالاتي :

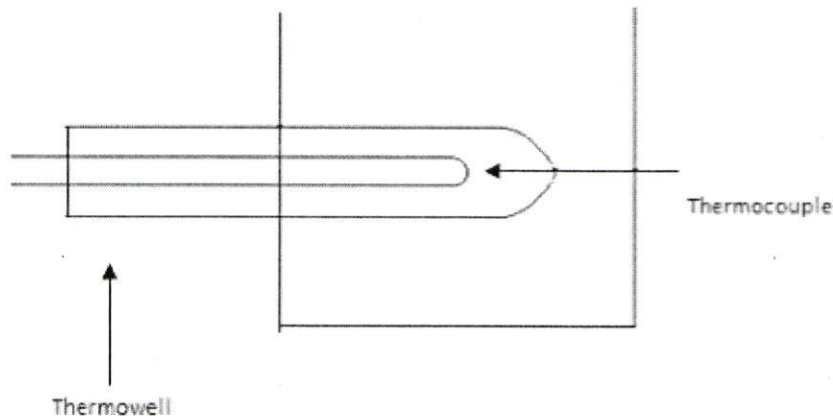
$$G_p(s) = T \cdot F = \frac{0.503}{12.4s + 1} \quad 2.11$$

وتصبح دالة التحويل للحمل المتغير كالتالي :

$$G_d(s) = T \cdot F = \frac{1}{12.4s + 1} \quad 2.12$$

2.2 الحساسات الحرارية :

من أشهر الأنواع المستخدمة لقياس درجة الحرارة هو المزدوج الحراري ويكون من معدنين مختلفين يتأثران بدرجة الحرارة.



شكل 2.2 المزدوج الحراري

نفترض ان المقاومة الرئيسية تقع خارج الغلاف الخارجي

$$\tau_m \frac{dT_m}{dt} + T_m = K_m T \quad 2.13$$

وبعد إجراء تحويل لابلاس للمعادلة أعلاه تصبح المعادلة كالتالي :

$$(\tau_m s + 1)T_m(s) = K_m T(s) \quad 2.14$$

وتصبح دالة التحويل للحساس كالتالي :

$$G_{m(s)} \frac{T_m(s)}{T(s)} = \frac{K_m}{(\tau_m s + 1)} \quad 2.15$$

نفترض أن :

$$K_m = 10 \quad , \quad \tau_m = 10$$

وبتعويض قيم المعاملات تصبح دالة التحويل كالتالي :

$$G_m(s) = T \cdot F = \frac{10}{10s+1} \quad 2.16$$

3.2 عناصر التحكم النهائية:

عبارة عن أجهزة في حلقة التحكم التي تقوم بتنفيذ إجراء المتحكم، حيث تقوم بإستقبال خرج المتحكم ومن ثم معالجة قيمة المتغير.

العنصر النهائي عبارة عن الصمام الذي يقوم بالتحكم في تدفق سوائل التبريد.

معادلة الصمام

$$G_{f(s)} = \frac{K_f}{\tau_f s + 1} \quad 2.17$$

وإافتراض أن قيم المتغيرات :

$$K_f = 10 \quad , \quad \tau_f = 30$$

وتصبح دالة تحويل الصمام كالتالي :

$$T \cdot F = \frac{10}{30s+1} \quad 2.18$$

الفصل الثالث

تصميم نظام التحكم

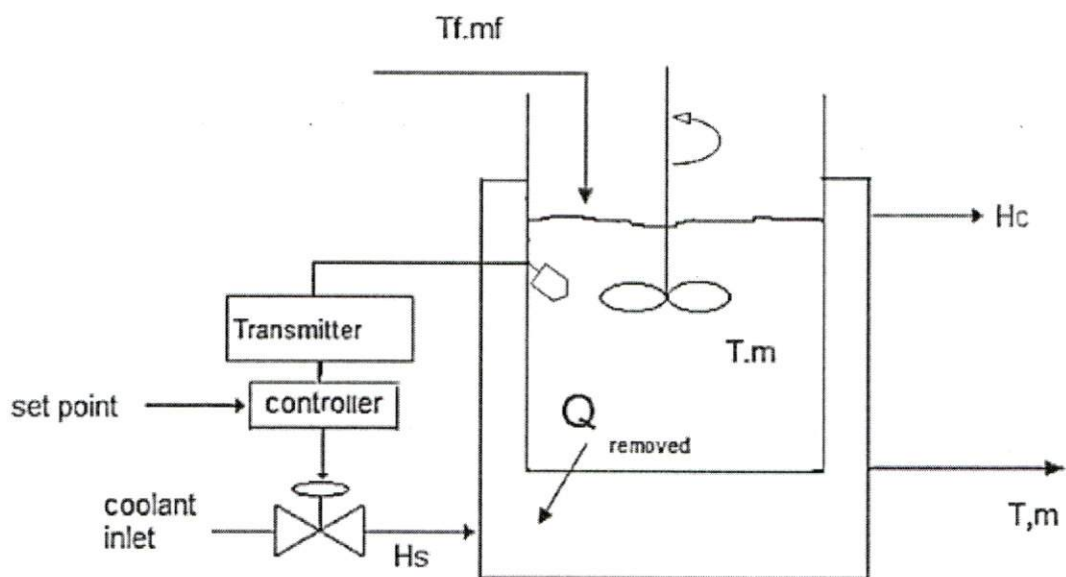
الفصل الثالث

تصميم نظام التحكم

1.3 تصميم نظام تحكم التغذية العكسية :

نعتبر أن نظام التحكم في درجة الحرارة لنموذج مفاعل التبريد المستمر كما موضح في

الشكل (1.3).



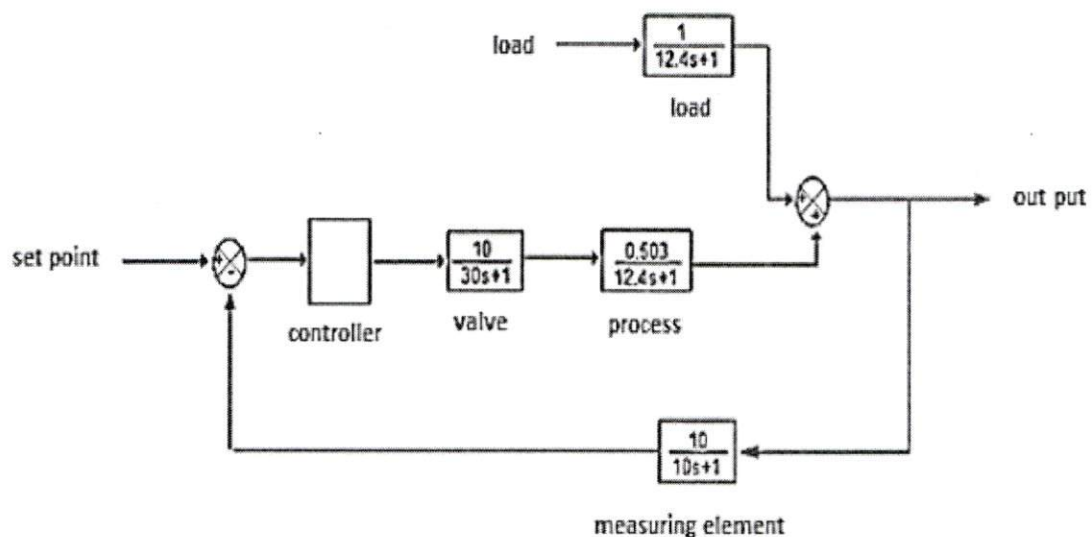
شكل 1.3 متحكمة التغذية العكسية لفاعل التبريد المستمر

درجة الحرارة T هي الخرج المتحكم به وذلك عند إضافة مواد التفاعل إلى الخزان بدرجة حرارة معينة.

دوال التحويل لجميع مكونات النظام تم توضيحيها في الفصل السابق.

هذا النظام يقوم على قياس قيمة الخرج (درجة الحرارة) وذلك باستخدام جهاز القياس (المزدوج الحراري) ثم تقوم المتحكمه بمقارنة هذا الخرج مع القيمة المضبوطة للنظام ، المتحكمه تقوم بإرسال إشارة لتصحيح انحراف الخرج ويتم ذلك عبر إرسال إشارة إلى المكونات المتغيرة (الصمام) الذي يتحكم في سوائل التبريد الخارجيه من المبرد.

المخطط الصندوقى لنظام تحكم التغذية العكسيه كما موضح في الشكل أدناه



شكل 2.3 المخطط الصندوقى لنظام التغذية العكسيه

1.1.3 ضبط المتحكم :

من الطرق التقليدية لتصميم المتحكمات وضبط المعاملات هي الطرق التي تعتمد على القياس وأحد أفضل هذه التقنيات هي طريقة زيقنر نيكلوس.

تعتمد هذه الطريقة على حساب الكسب النهائي (K_u) وعلى حساب زمن الدورة (P_u) التي تقود الإشارة إلى التذبذب المستمر، ومن ثم نقوم بضبط المتحكمة تبعاً لجدول زيقنر نيكلوس كما موضح في الجدول التالي .

جدول 1.3 طريقة زيقنر نيكلوس

	K_u	T_i	T_d
P	$0.5K_u$		
PI	$0.45K_u$	$P_u/1.2$	
PID	$0.6K_u$	$P_u/2$	$P_u/8$

باستخدام طريقة راوث نقوم بحساب الكسب (K_u) وزمن الدورة (P_u) وذلك من معادلة الخصائص لنظام التغذية العكسية.

$$\frac{Y(s)}{R(s)} = \frac{\pi(\text{forward})}{1 + \pi(\text{loop})} \quad 3.1$$

$$\pi(\text{forward}) = \frac{k_c k_v k_p}{(\tau_v s + 1)(\tau_p s + 1)} \quad 3.2$$

$$\pi(\text{loop}) = \frac{k_c k_v k_p k_M}{(\tau_v s + 1)(\tau_p s + 1)(\tau_M s + 1)} \quad 3.3$$

$$\frac{Y(s)}{R(s)} = \frac{k_c k_v k_p (\tau_M s + 1)}{(\tau_v s + 1)(\tau_p s + 1)(\tau_M s + 1) + K_V K_C K_P K_M} \quad 3.4$$

$$\frac{Y(s)}{R(s)} = \frac{k_C k_V k_P (\tau_M s + 1)}{\tau_V \tau_P \tau_M s^3 + (\tau_M \tau_P + \tau_M \tau_V + \tau_P \tau_V) s^2 + (\tau_V + \tau_P + \tau_M) s + k_V k_C k_P k_M + 1} \quad 3.5$$

وتكون معادلة الخصائص للنظام

$$\tau_V \tau_P \tau_M s^3 + (\tau_M \tau_P + \tau_M \tau_V + \tau_P \tau_V) s^2 + (\tau_V + \tau_P + \tau_M) s + k_V k_C k_P k_M + 1 = 03.6$$

من الفصل السابق يتضح لنا ان قيم المتغيرات كما يلي

$$\begin{array}{ll} K_C = 0.503 & \tau_P = 124 \\ K_V = 10 & \tau_V = 30 \\ K_M = 10 & \tau_M = 10 \end{array}$$

بعد تعويض القيم تصبح معادلة الخصائص كالتالي :

$$3720 s^3 + 796 s^2 + 52.4 s + 50.3 K_C + 1 = 0 \quad 3.7$$

معايير راوث 2.3 جدول

s^3	3720	52.4
s^2	796	$50.3 k_C + 1$
s^1	A ₁	A ₂
s^0	B ₁	B ₂

$$A_1 = \frac{(796)(52.4) - (3720)(50.3 K_C + 1)}{796} = \frac{37990.4 - 187116 K_C}{796} \quad 3.8$$

$$\begin{aligned} B_1 &= \frac{(A_1)(50.3 K_C + 1) - 0}{A_1} \\ &= 50.3 K_C + 1 \end{aligned} \quad 3.10$$

بمساواة قيمة A₁ بالصفر

$$A_1 = \frac{37990.4 - 187116 K_C}{796} = 0$$

$$K_C = \frac{37990.4}{187116} = 0.203$$

$$796 s^2 + (50.3 K_C + 1) = 796 s^2 + 11.21 = 0 \quad 3.11$$

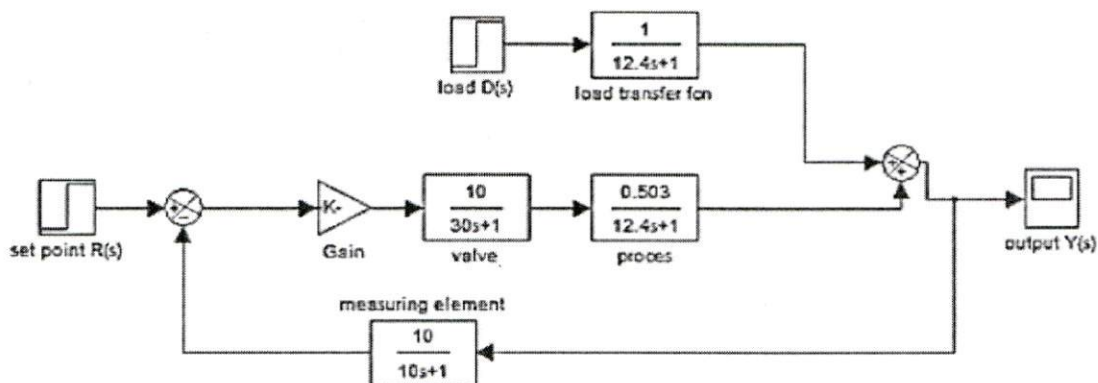
$$S = (\omega u)_i = 0.117_i \omega u = 0.117$$

$$\omega u = 2\pi / \omega u \quad \omega u = 53.67$$

جدول 3.3 جدول زيقتر نيكلوس بعد تعويض القيم

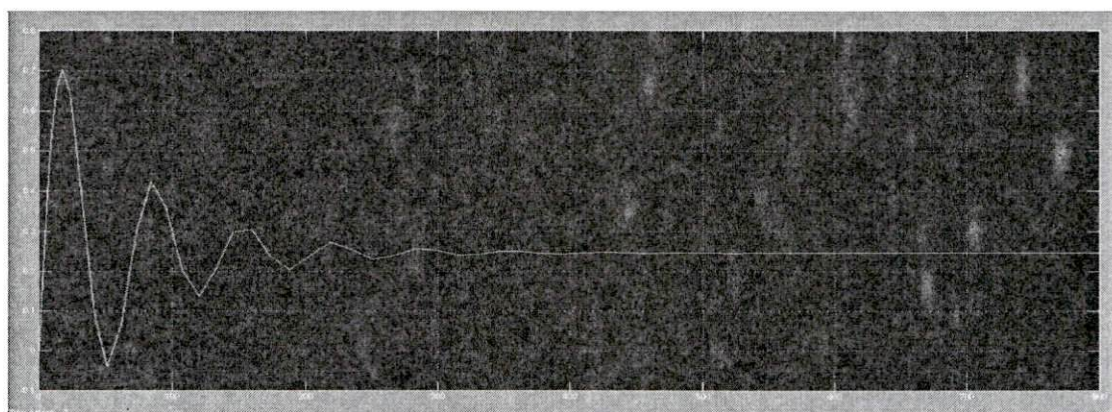
	K_c	T_i	T_d
P	$0.5 * 0.203 = 0.102$		
PI	$0.45 * 0.203 = 0.091$	$53.67 / 1.2 = 44.73$	
PID	$0.6 * 0.203 = 0.122$	$53.67 / 2 = 26.84$	$53.67 / 8 = 6.71$

2.1.3 المتحكم التناصبي (P controller)



شكل 3.3 المخطط الصندوقي لنظام التغذية العكسيه باستخدام المتحكم التناصبي

باستخدام برنامج الماتلاب يمكن رسم استجابة الخرج للنظام كما في الشكل الآتى



شكل 4.3 استجابة الخرج لنظام تحكم التغذية العكسيه باستخدام المتحكم التناصبي

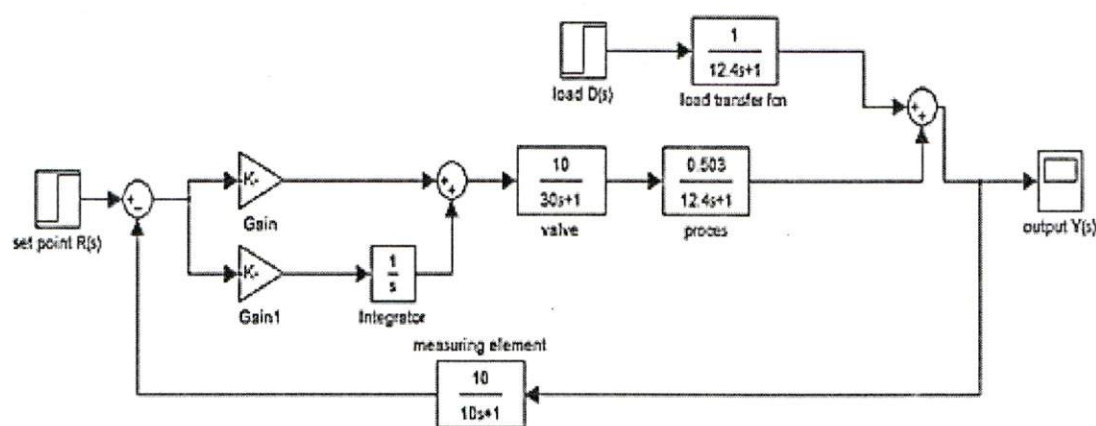
من الشكل السابق يمكن أن نلاحظ مايلي :

$$\text{The offset} = Y_{\text{idle}} - Y_{\text{steady state}} = 0.3 - 0.25 = 0.05$$

$$\text{The maximum deviation} = 0.7$$

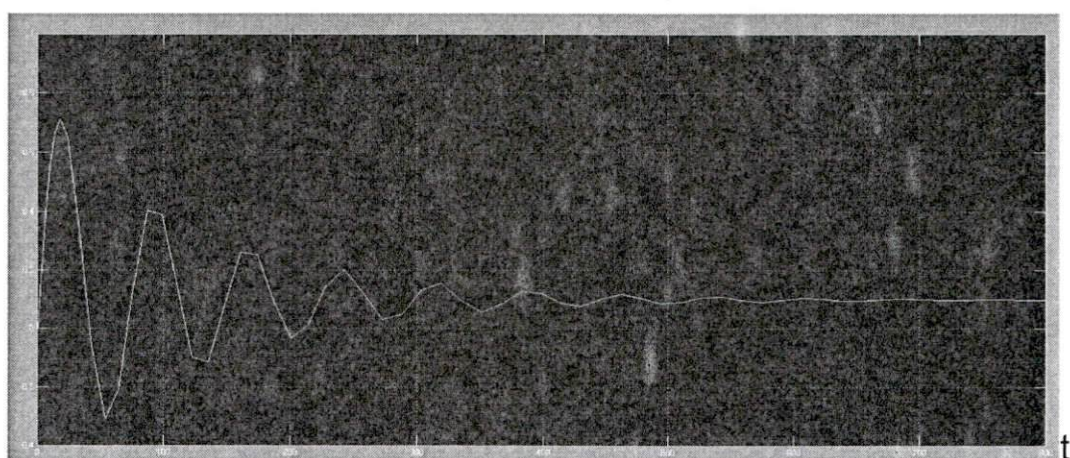
$$\text{The system response time} = 510 \text{ sec}$$

3.1.3 المتحكم النسبي التكامل (PI controller) :



شكل 5.3 المخطط الصندوقي للمتحكم النسبي التكامل

ويكون شكل استجابة الخرج باستخدام برنامج الماتلاب كما يلي



شكل 6.3 استجابة الخرج للمتحكم النسبي التكامل

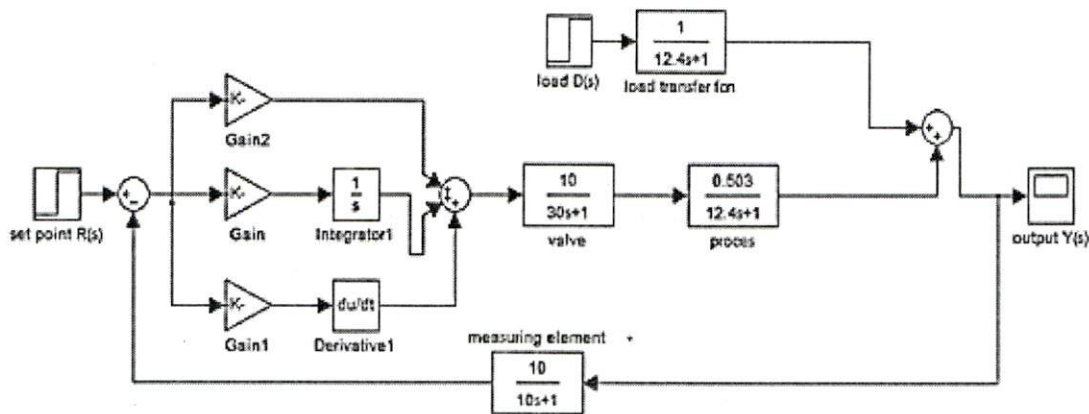
من هذه الاستجابة نلاحظ الآتي :

The offset = $Y_{idle} - Y_{steady state} = 0$ at steady state

The maximum deviation = 0.71

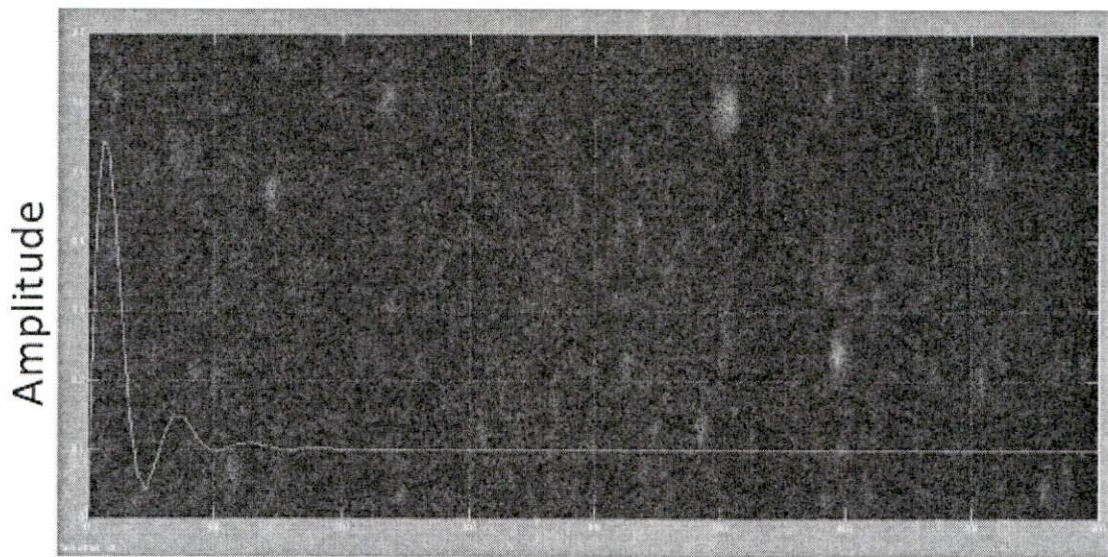
The system response time = 770 sec

4.1.3 المتحكم النسبي التكاملي التفاضلي (PID controller)



الشكل 7.3 المخطط الصندوقى للمتحكم النسبي التكاملي التفاضلي

وتكون استجابة خرج النظام كما يلي :



شكل 8.3 استجابة الخرج للمتحكم النسبي التكاملي التفاضلي

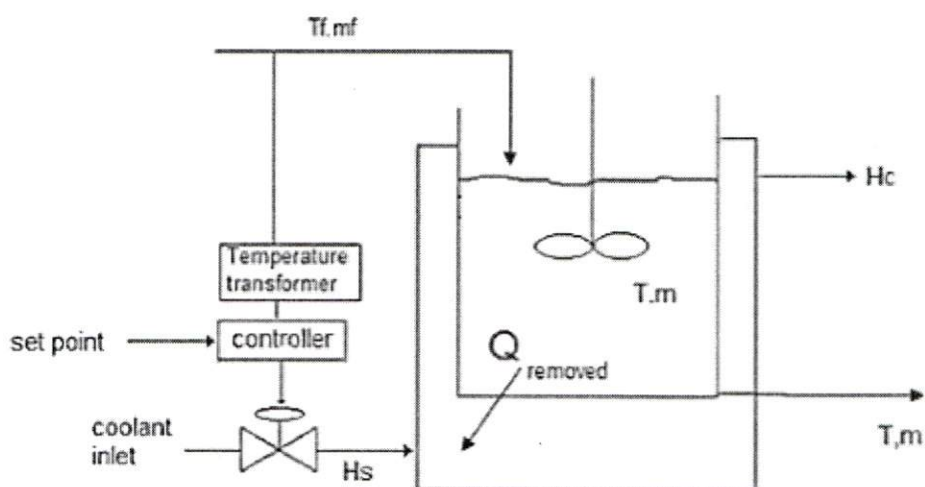
من الرسم أعلاه نلاحظ الآتي :

The offset = $Y_{idle} - Y_{\text{steady state}} = 0$ at steady state

The maximum deviation = 0.541

The system response time = 259 sec

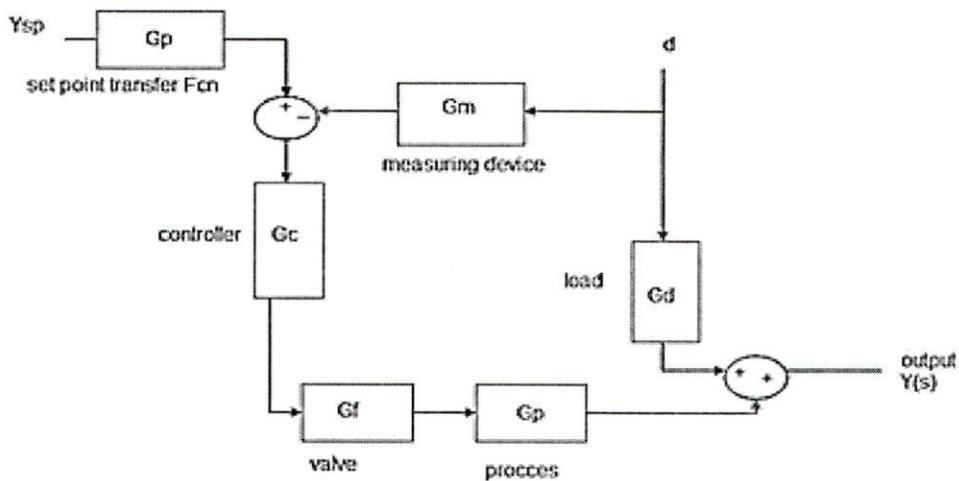
2.3 تصميم نظام تحكم التغذية الأمامية :



شكل 9.3 متحكم التغذية الأمامية لمفاعل التبريد المستمر

هذا النظام يعمل على قياس الاضطرابات مباشرة ويقوم بتوقع تأثيراتها على خرج العملية ومن ثم ي العمل على استبعادها نهائيا وذلك بالعمل على المتغيرات.

الشكل التالي يوضح المخطط الصنديقي لنظام تحكم التغذية الأمامية



شكل 10.3 المخطط الصندوقي لنظام تحكم التغذية الأمامية

اشتقاق دالة التحويل لنظام تحكم التغذية الأمامية يكون كالتالي :

$$Y(s) = (G_p G_f G_c G_{sp}) Y_{sp}(s) + (G_d - G_p G_f G_c G_m) d(s) \quad 3.12$$

$$Y(s) = (G_p G_f G_c G_{sp}) Y_{sp}(s) + (G_d - G_p G_f G_c G_m) d(s) \quad 3.12$$

$$G_d - G_p G_f G_c G_m = 0 \quad 3.13$$

$$Y_{sp}(s) = \frac{Y_s - (G_d - G_p G_f G_c G_m) d(s)}{G_p G_f G_c G_m} \quad 3.15$$

$$G_p G_f G_c G_m = 1 \quad 3.16$$

$$G_{sp} = \frac{G_m}{G_d} \quad 3.18$$

وبتعويض قيم G_m, G_d, G_p, G_f نحصل على المعادلة الآتية :

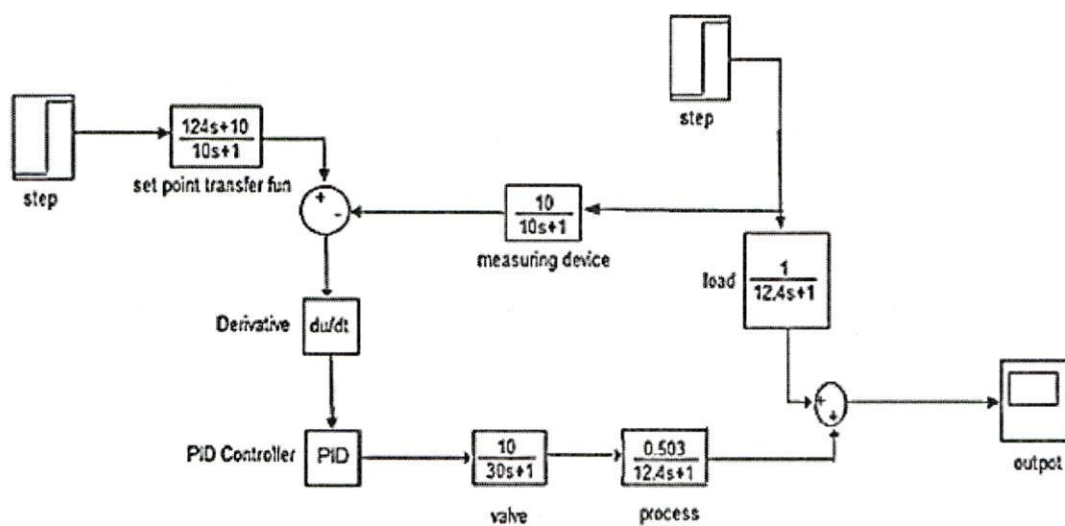
$$G_{sp} = \frac{G_m}{G_d} = \frac{10(12.4S + 1)}{10S + 1} = \frac{124S + 10}{10S + 1} \quad 3.19$$

$$G_c = \frac{G_d}{G_p G_f G_m} = \frac{(124S + 1)(30S + 1)(10S + 1)}{50.3(12.4S + 1)} = 0.02(30S + 1)(10S + 1) \quad 3.20$$

$$G_c = 0.02(30S + 1)(10S + 1) = 6S^2 + 0.8S + 0.02 \quad 3.21$$

$$G_C = S(0.8 + \frac{0.02}{S} + 6S) \quad 3.22$$

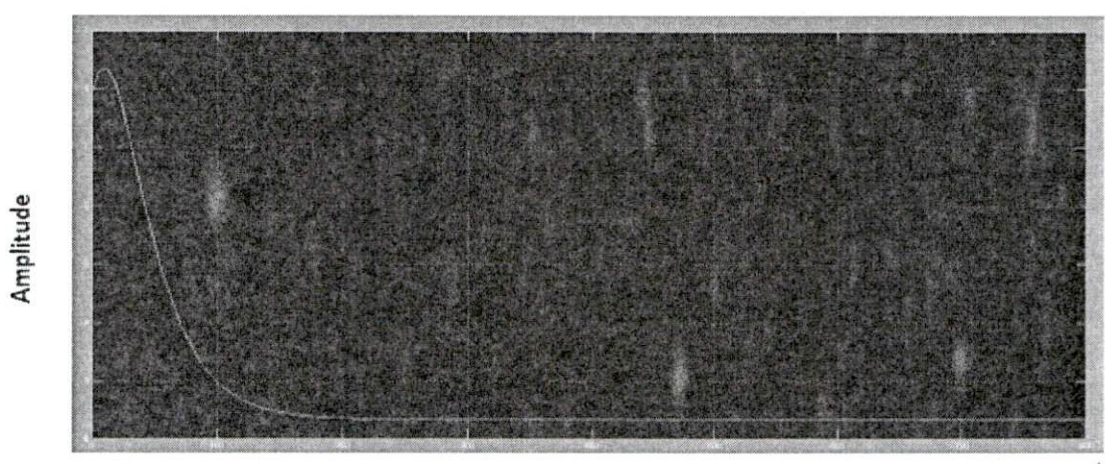
وبتعويض قيم جميع مكونات المخطط الصندي للنظام نحصل على المخطط التالي



شكل 11.3 المخطط الصندي المعدل لنظام تحكم التغذية الأمامية

ويستخدم برنامج الماتلاب يمكن الحصول على استجابة الخرج لنظام تحكم التغذية الأمامية

كما يلي



شكل 12.3 استجابة الخرج لنظام تحكم التغذية الأمامية

The offset = $Y_{\text{idle}} - Y_{\text{steady state}} = 0$ at steady state

The maximum deviation = 0

The system response time = 220 sec

من تصاميم أنظمة التحكم السابقة يمكن مقارنة هذه الأنظمة على حسب الاستجابة العابرة

للخرج من حيث زمن استجابة النظام واعلى نقطة لإنحراف الإشارة وقيمة الإزاحة والخروج

بالتصميم الأمثل للتحكم في مفاعل التبريد الأمثل وتكون المقارنة تبعاً للجدول الآتي :

جدول 4.3 المقارنة بين نظام تحكم التغذية العكسية والتغذية الأمامية

The characteristic features	Feedback system			Feed forward system
	P	PI	PID	
The offset	0.05	0	0	0
Response time (sec)	510	770	259	220
Maximum deviation	0.7	0.71	0.541	0

في نظام تحكم التغذية العكسية تمت المقارنة بين الثلاث متحكمات (التناسبي، التناصي التكاملـي، التناصي التكاملـي التفاضـلي) ويتبـحـ من المقارنة أن نظام التحكم التـنـاسـبيـ التـكـامـلـيـ التـفـاضـليـ له أسرع زـمـنـ لـلاـسـتـجـابـةـ وأـقـلـ انـحرـافـ منـ النـظـامـينـ الآـخـرـينـ.

وبمقارنة نظام تحكم التغذية العكسية مع نظام تحكم التغذية الأمامية نجد أن نظام التغذية الأمامية هو الأسرع في الاستجابة من نظام التغذية العكسية.

الفصل الرابع

تحليل استقرارية أنظمة التحكم

الفصل الرابع

تحليل استقرارية أنظمة التحكم

من أهم خصائص أنظمة التحكم هي استقراريتها، ويعتبر النظام مستقراً إذا تعرض النظام إلى أي اضطرابات في الدخول ويكون الخرج قادراً على العودة إلى حالته الأولى.

هناك عدد من الطرق لاختبار إذا كان نظام التحكم مستقراً أم لا ومن أشهر هذه الطرق هي :

- Nyquist criteria.
- Root locus criteria.
- Bode criteria.

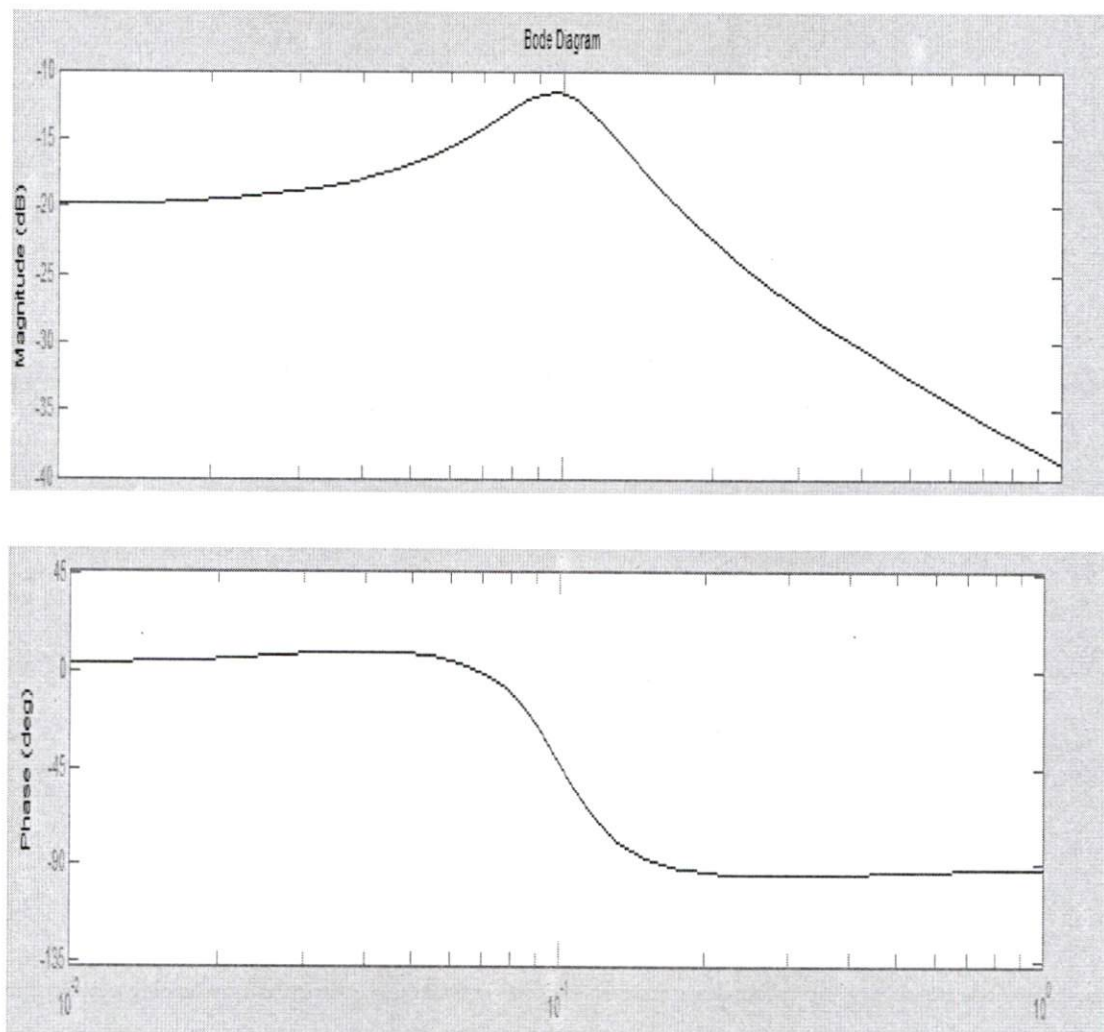
1.4 تحليل استقرارية نظام تحكم التغذية العكسية :

لتحليل استقرارية النظام نحتاج إلى دالة تحويل النظام والتي تم توضيحيها في الفصل الثالث ، وبالرجوع إلى المعادلة 3.7 يمكن اختبار استقرارية النظام وذلك بعد تعويض جميع قيم المتغيرات.

$$\frac{Y(s)}{R(s)} = \frac{41.25S^3 + 10.2S^2 + 0.84S + 0.023}{3720S^4 + 796S^3 + 93.65S^2 + 7.14S + 0.23} \quad 4.1$$

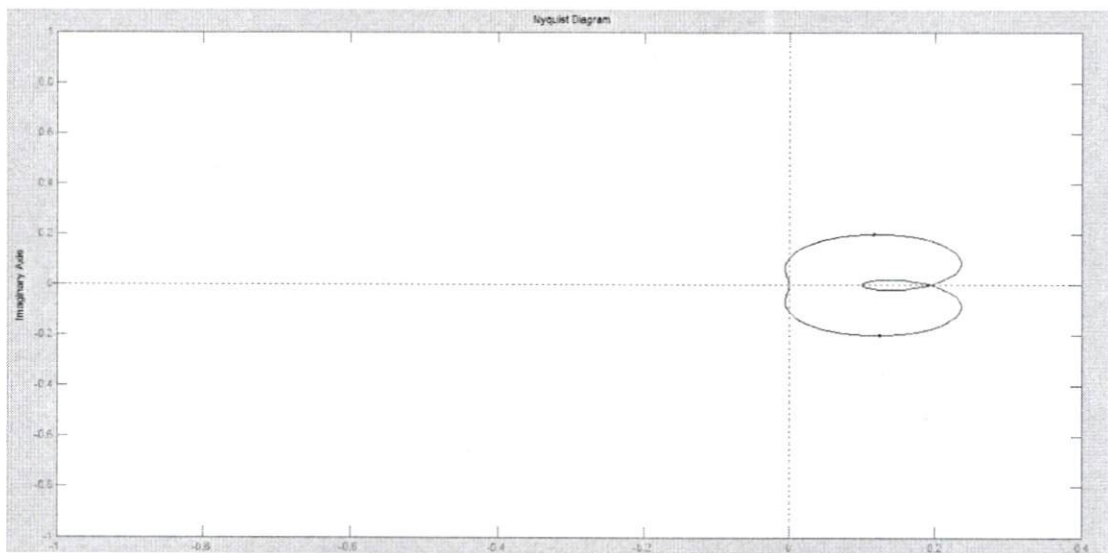
يمكن اختبار استقرارية النظام بواسطة برنامج الماتلاب كما يلي :

1.1.4 مخطط بود :



شكل 1.4 مخطط بود لنظام تحكم التغذية العكسية

2.1.4 معيار نيكوست :



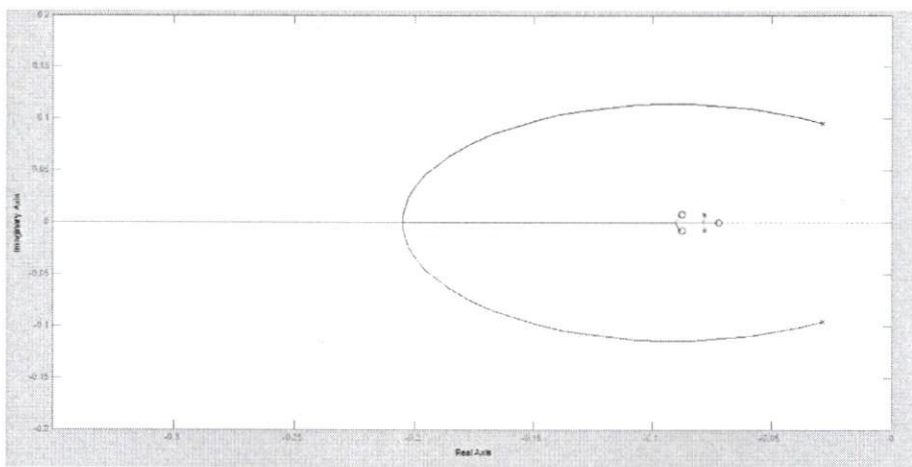
شكل 2.4 معيار نيكوست لنظام تحكم التغذية العكسية

النظام يعتر مستقرا حسب معيار نيكوست لأن معادلة الخصائص تقع بين القيمة $(0, 0.25)$ في الجزء الموجب من المحور الحقيقي.

إذا وقعت هذه المعادلة بين القيمة $(-1, 0)$ فإن النظام يعتبر غير مستقرا حسب

معيار نيكوست.

3.1.4 مكان جذور المعادلة :



شكل 3.4 مكان جذور المعادلة لنظام تحكم التغذية العكسية

مكان الجذور لمعادلة الخصائص يقع في الجزء السالب للجزء الحقيقي، وعلى حسب معيار مكان جذور المعادلة يعتبر النظام مستقراً.

2.4 تحليل استقرارية نظام تحكم التغذية الأمامية :

المعايير السابقة المستخدمة لتحليل استقرارية أنظمة التحكم لا يمكن تطبيقها على نظام تحكم التغذية الأمامية لأن النظام لا يعتبر حلقة مغلقة.

نظام تحكم التغذية الأمامية لا يمكن التعبير عنه من حيث الاستقرارية لأن النظام يقوم بقياس الاضطرابات مباشرة ومن ثم تقوم المتحكمه باستبعاد التأثير الناتج من هذه الاضطرابات واستبعاده نهائيا قبل إن يؤثر على خرج العملية.

الفصل الخامس

الخاتمة والتوصيات

الفصل الخامس

الخاتمة والتوصيات

1.5 الخاتمة :

من خلال تصاميم أنظمة التحكم السابقة لمفاعل التبريد المستمر (CSTR) واختبار وتحليل استقرارية هذه الأنظمة والمقارنة بينها، تم استنتاج انه في نظام تحكم التغذية العكسية تكون المتحكمه (PID) هي الأسرع في الاستجابة من المتحكمات . (PI),(P)

وبمقارنة نظام التغذية الأمامية مع نظام تحكم التغذية العكسية يتضح أن نظام التغذية الأمامية أسرع في الاستجابة .

2.5 التوصيات:

لمزيد من الاستقرار ولسرعة استجابة اكبر للتحكم في درجة حرارة مفاعل التبريد المستمر يمكن تصميم نظام التحكم التعاقبى (cascade control system).

المراجع:

- [1] Smith, R.M (2005) Chemical Process: Design and Integration, John Wiley & Sons, chichester.
- [2] Houfar , F: Salah shoor, K. (2008). Adaptive control of CSTR using Feedback Linearization Based on Grey – Box Modeling , proceeding of FEEE International confe.
- [3] Adaptive control systems : techniques and applications by V.V. chalam : 34 – 98
- [4] Srinivas Palanki , Soimitri Kolavennu , (2003). Simulation of control of CSTR process int. J. Engng Ed. Vol. 19 No 3, PP 398 ± 402.